## • 传染病影像学 •

# AIDS 并发播散性结核F-18 FDG PET/CT 表现

李云芳,李宏军

【摘要】目的:探讨F-18 FDG PET/CT 在 AIDS 合并播散性结核(DTB)复杂感染中的应用价值。方法:回顾性分析 1 例 AIDS 合并全身播散性结核患者的 PET/CT 影像学表现。结果:F-18 FDG PET/CT 在头颅、胸部、腹部、盆腔及骨骼系统发现多处高、低放射性摄取病灶。结论:F-18 FDG PET/CT 可以对 AIDS 并发播散性结核快速进行全身评估。

【关键词】 获得性免疫缺陷综合征;结核;体层摄影术,X线计算机;正电子发射断层显像术

【中图分类号】R512.91; R52; R814.42 【文献标识码】A 【文章编号】1000-0313(2011)09-1003-03

Co-infected AIDS and disseminated tuberculosis on F18-FDG PET/CT LI Yun-fang, LI Hong-jun. Department of Radiology, Beijing Youan Hospital Affiliated of Capital Medical University, Beijing 100067, P. R. China

**[Abstract]** Objective: To summarize and discuss the application of F18-FDG PET/CT in the diagnosis of co-infected AIDS and disseminated tuberculosis. **Methods:** A case of co-infected AIDS and disseminated tuberculosis patient was retrospectively analyzed with review of literature. **Results:** F18-FDG PET/CT found varying degrees FDG uptake in head, chest, abdomen and pelvis. **Conclusion:** F18-FDG PET/CT can provide rapid and systematic assessment for co-infected AIDS and disseminated tuberculosis.

**[Key words]** Acquired immunodeficiency syndrome; Tuberculosis; Tomography, X-ray computed; Positron-emission tomography

## 材料与方法

## 1. 一般资料

搜集经 CDC 确诊的 AIDS 患者 1 例,女性,年龄 28 岁。临床症状为发热、咳嗽、乏力、消瘦,腰部疼痛。 CD4 计数 357 个/ $\mu$ l,病毒载量(viral load, VL)<50。感染途径不详。

### 2. PET/CT 检查方法

采用 Siemens BIOGRAPH-40 PET/CT 扫描仪。本例患者于检查前禁食 6 h 以上。静脉注射前常规测量空腹血糖浓度(血糖浓度控制在 7.0 mmol/l 以内),安静、避光、平卧 15 min 后注射示踪剂 18F FDG,注射剂量为 0.1 mCi/kg。注射后静卧 40~60 min 行 PET/CT 检查。PET/CT 检查时嘱患者平静呼吸,检查完之后行常规 CT 屏气扫描。扫描范围从头顶至耻骨联合下。CT 扫描参数:电压 120 kV,电流 80 mAs,矩阵 512×512,螺距 0.75,层厚 3.75 mm,采用标准重建法。在同一范围用三维模式采集 PET 图像,采集 5个床位,机器自动利用 CT 数据对 PET 图像进行衰减校正,进行图像重建和融合。图像采用迭代法(ordered subset expectation maximization,OSEM)自动进行图像重建,进行 PET 和 CT 图像融合,分别获得横断面、

通讯作者:李宏军,E-mail:lihongjun00113@126.com

冠状面及矢状面的 PET、CT 及 PET/CT 图像。

#### 3. 结果分析

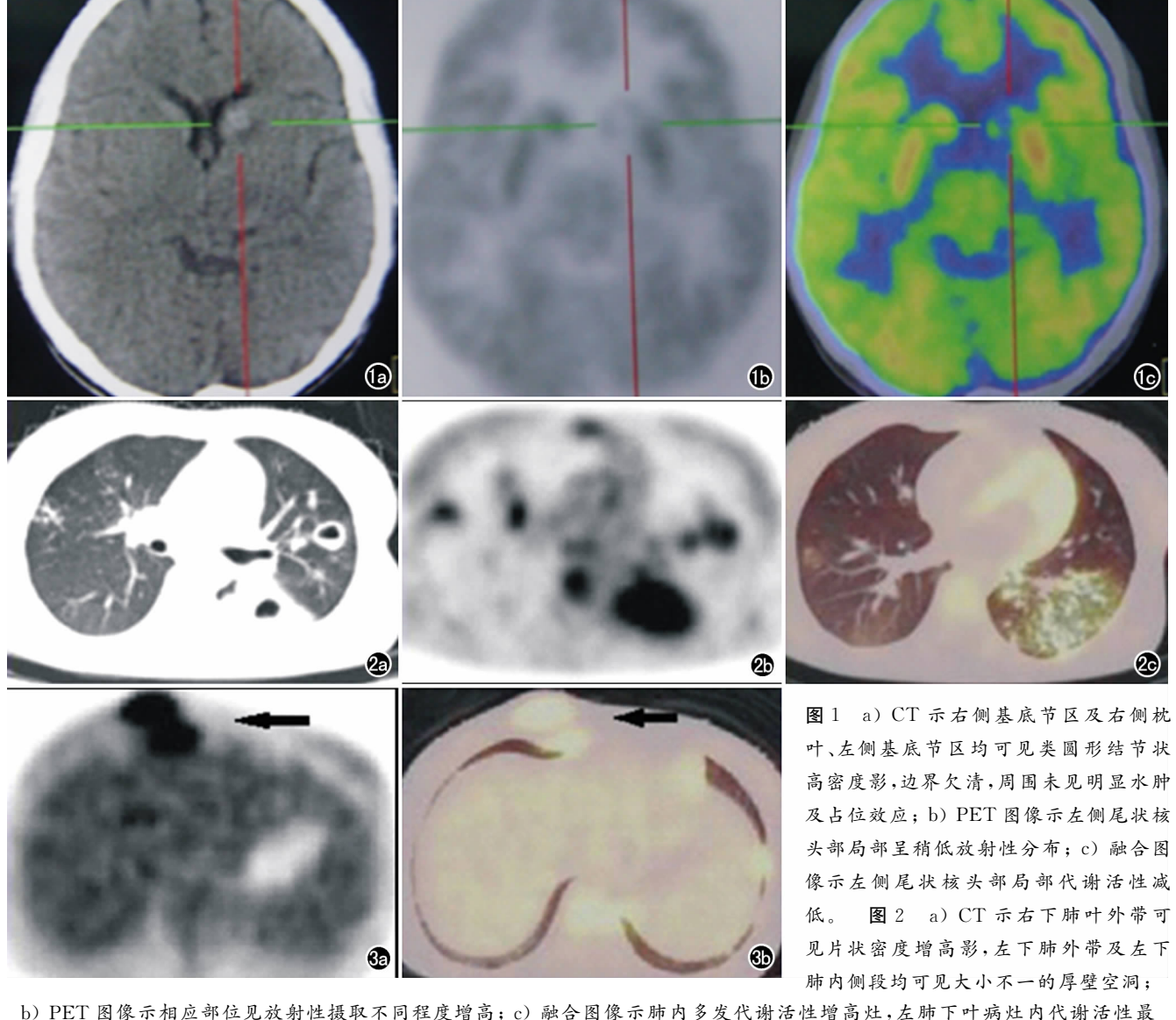
图像由两名以上具有核医学及 CT 阅片经验的医生共同阅片,规范记录 CT 及 PET 所见信息。 CT 记录病变部位、形态、大小、CT 值、病变周围情况、肺内基础病变情况、纵隔淋巴结是否肿大、有无钙化等。 PET 记录病变部位、有无放射性增高或浓聚及形态、选择病灶放射性浓聚程度最高的层面,勾画感兴趣区 (ROI),自动测量最大标准摄取值(standardized uptake value maximum,SUVmax)。

#### 结 果

患者脑部 CT 显示双侧大脑半球及右侧小脑半球 散在多发结节样稍高密度灶,最大者位于左侧尾状核 头区,大小约 1.0 cm×0.8 cm,并于周围见低密度区; PET 显像见最大病灶呈稍低放射性分布,其余病灶未 见明确异常放射性增高或减低(图 1)。

胸部 CT 图像显示双肺多发斑片、结节样影,较大病灶内可见类圆形透光区;PET 显像于相应部位见放射性摄取不同程度增高,左肺下叶病灶内可见放射性摄取最高,SUVmax 约 9. 42(图 2)。颈部及腋窝淋巴结未见明显高放射性摄取病灶。PET 显像于右侧第5、6 肋软骨区、Th<sub>11</sub>、Th<sub>12</sub>椎体及周围软组织见放射性摄取增高。同机 CT 平扫见右侧第5、6 肋软骨区胸壁皮下见软组织结节,Th<sub>11</sub>、Th<sub>12</sub>椎体局限性骨质缺损,上述软组织不同程度肿胀,并可见低密度区(图 3)。

作者单位:100069 北京,首都医科大学附属北京佑安医院放射科作者简介:李云芳(1982一),女,北京人,硕士,主要从事分子影像学及功能影像学研究工作。



b) PET 图像示相应部位见放射性摄取不同程度增高; c) 融合图像示肺内多发代谢活性增高灶,左肺下叶病灶内代谢活性最高,SUVmax约9.42。 图 3 a) PET 示前腹壁显像病灶呈"哑铃状"放射性摄取增高,SUVmax约6.65(箭); b) 融合图像示前腹壁、椎体、左侧腹腔显像病灶放射活性增高。

腹部 PET/CT 影像表现:腹腔脓肿穿刺术后,右侧背部见穿刺点,局部放射性摄取增高,SUVmax 约4.75。PET/CT 示于 L<sub>3</sub> 至骶椎及周围软组织、左侧髂骨、坐骨周围软组织及右侧腰大肌(图 4)见不同程度放射性摄取增高灶,左侧髂骨周围病灶放射性摄取最高,SUVmax 约 13.43(图 5)。CT 平扫于脾脏内见多发稍高密度结节,PET 显像相应部位未见异常放射性摄取增高灶。肝脏放射性摄取尚均匀;胰腺形态及大小未见异常,放射性摄取尚均匀;胃、胆囊窝、双侧肾上腺区未见异常放射性摄取增高灶。双侧腹股沟无高放射性摄取淋巴结。

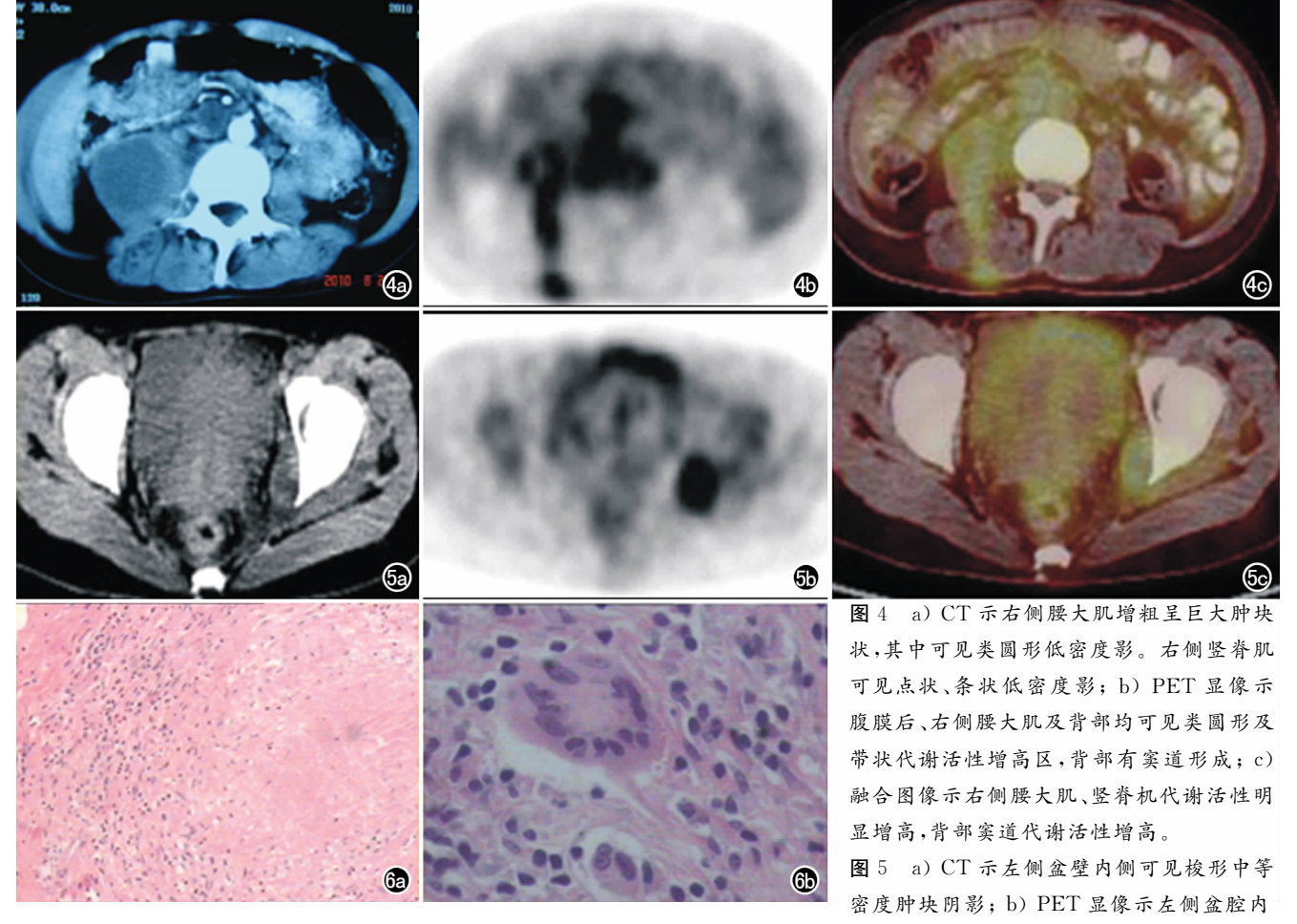
盆腔 CT 图像可见腹膜后及盆腔多发结节,病灶中心密度较低,较大者约 1.8 cm×2.8 cm; PET 显像见部分病灶放射性摄取增高, SUVmax 约 6.65(图6)。同机 CT 平扫可见双肾内多发稍高密度结节,

PET 显像相应部位未见异常放射性摄取增高灶。

#### 讨论

艾滋病相关结核病可发生在病程的各个时期。结核是 AIDS 患者最常见的机会性感染疾病, HIV 和结核菌双重感染约占 AIDS 患者的  $1/3^{[1,2]}$ 。两者互为因果, HIV 阳性者感染结核菌后,结核发病率较 HIV 阴性者高 30 倍<sup>[3]</sup>,结核是 AIDS 患者最主要的死亡原因<sup>[4-6]</sup>。

HIV 的靶细胞主要是细胞表面表达 CD4 分子的细胞,主要是 CD4+T 淋巴细胞,还有单核细胞、巨噬细胞。HIV 大量破坏 CD4+T 细胞,减弱和破坏 T细胞介导的细胞免疫反应。细胞免疫特别是 T淋巴细胞免疫对结核杆菌的抑制起了决定性的作用[7]。已有动物试验表明,T淋巴细胞缺陷的大鼠对结核杆菌的



侧壁类圆形代谢活跃聚集区; c) 融合图像示左侧盆壁髂骨内侧可见梭形代谢活性增高区。 图 6 a) 病理图像,示局部坏死,纤维结缔组织增生,结核性肉芽肿形成( $\times$ 5,HE 染色); b) 病理图,可见多个多核巨细胞及类上皮细胞( $\times$ 20,HE 染色)。

易感性增加<sup>[8]</sup>,其发生结核的风险与免疫缺陷的患者发生结核的风险类似<sup>[9]</sup>。由于结核杆菌的感染可提高HIV病毒的侵袭和复制能力<sup>[10,11]</sup>,并提高了 CD4 淋巴细胞对 HIV 的易感性,因此,结核的发生意味着HIV 感染者有艾滋病发病的高风险。结核现在已成为艾滋病高流行地区的最重要的单一死因<sup>[12]</sup>。

由于 AIDS 患者细胞免疫和变态反应受到抑制,不能产生足够的免疫反应,结核菌素反应减弱甚至无反应。临床表现常不典型,多种症状可交叉发生或无明显症状,两种疾病的临床表现可相互重叠,难以辨别,从而给诊断和治疗带来很大难度。本例患者出现反复、发热、咳嗽、乏力、体重下降及腰痛的症状,表现比较典型,可能与其 CD4 细胞数较高有关。

艾滋病患者合并结核病一方面因免疫功能严重缺失,细胞免疫功能低下,另一方面限制病灶发展的Langerhans巨细胞及纤维母细胞功能受抑,患者不能形成结核性肉芽肿,易造成病灶不典型。抑制结核分枝杆菌生长的巨噬细胞能力降低,导致肺外结核多发,具有侵袭性,易发生全身扩散。镜下观察,艾滋病患者的结核肉芽肿不典型,病灶内缺乏上皮样细胞及

Langerhans 巨细胞,干酪样坏死显著。

艾滋病合并结核的影像学表现较普通患者结核的表现更复杂多元化。在 AIDS 合并颅内 DTB 中,结核性脑膜炎是最常见的,结核性肉芽肿、结核性脓肿和与结节性血管炎相关的脑缺血和脑梗死也并不少见[13]。本例双侧大脑半球及右侧小脑半球散在多发结节样稍高密度灶,部分放射性摄取减低。符合相关文献对结核性肉芽肿影像表现的描述。

胸部影像学表现多种多样,肺内实变以下肺野多见,可表现为片状、结节状、索条状病灶,呈散在斑片状阴影,多为中央密度相对较高,外周密度相对较低,边缘模糊的渗出性病变;常有肺门及纵隔淋巴结肿大和胸腔积液,增强扫描时肿大的淋巴结呈环形强化;肺内支气管播散常见,但空洞少见;浸润型肺结核病灶多为较均匀一致的片絮状阴影,缺乏一般肺结核的渗出、增生等一般演变规律或同时存在的"多形态"特征性表现;钙化少见。肺部病变易广泛,且肺部各叶均可发病,并易形成肺外播散。本例双肺可见多发斑片、结节样影,很少有空洞形成,比较符合 AIDS 合并结核的肺部表现。且上述部位放射性摄取不同程度增高,表明

病灶有活动性。

腹部结核主要发生于 20~40 岁青壮年。腹部各实质性器官、肠道、淋巴结及腹膜极易受累[14]。肝、胆、脾、胰结核不常见,但在 AIDS 患者中其发病率增高。本例脾脏及双肾内均有累及。AIDS 合并 DTB最常见的肺外病变就是淋巴结结核,最典型的表现是增强 CT 的环形强化[15]。本例在腹膜后及盆腔发现的多发低密度病灶,PET 可见放射性摄取增高,考虑为淋巴结结核,应与非结核分枝杆菌(nontuberculous mycobacteria,NTM)淋巴结炎鉴别。

骨关节肌肉系统的影像学表现与一般结核相同, 表现为骨质破坏及周围软组织肿胀,本例右侧第 5、6 肋软骨区、Th<sub>11</sub>、Th<sub>12</sub>、L<sub>3</sub>至骶椎、左侧髂骨、坐骨及周 围软组织、右侧腰大肌均可见低密度区。PET 显像于 上述部位可见明显放射性摄取增高。

PET 主要是探测疾病发生、发展过程中的功能、 代谢改变,F-18 FDG PET/CT 能从分子水平反映人体 存在的生理或病理变化,在疾病早期尚未形成形态学 改变时,即可提供疾病信息。从理论上讲,F-18 FDG PET/CT 比反映形态改变的 CT、MR 能更早地检出 病变的存在。F-18 FDG PET/CT 图像融合能提供功能、 代谢和解剖结构方面的信息,保证了图像融合的准确、 可靠,可对病灶进行定位、定性诊断。F-18 FDG PET/CT 能进行全身检查,可以观察全身的受累组织器官,检查 时间大大缩短[16]。F-18 FDG PET/CT 在治疗计划的制 定和疗效的监控等方面也有很大优势,而且其检查结 果较单独的 PET、CT、MR 具有更高的诊断符合率,特 别是显著提高了对小病灶及转移灶的诊断能力。本例 患者由于 HIV 感染, PET 显像高 FDG 摄取表现,加 之结核的活动性感染,SUV 值增高明显,给定性诊断 带来一定困难。

综上所述,AIDS 合并 DTB 时,可累及机体任何器官、系统,肺外结核十分常见,影像表现更加复杂且缺乏典型性,F-18 FDG PET/CT 可以快速进行全身评估,可以通过较高的 FDG 摄取以及半定量分析区分肿瘤和感染性疾病。实现早期进行全身性诊断与客观评估,具有一定特征性,但缺乏特异性,结合临床病史,诊断不难。定性还依赖于活检标本培养及组织病理学分析。

#### 参考文献:

- [1] 罗永艾. 结核病合并人类免疫缺陷病毒感染/艾滋病的诊断[J]. 中华结核与呼吸杂志,2000,23(11):656.
- [2] 李拯民. 艾滋病和结核病[J]. 中国艾滋病性病,2004.10(1):74.
- [3] 赵大伟,袁春旺,张立洁,等. AIDS 肺门纵隔淋巴结结核的影像表现[J]. 中华放射学杂志,2005,39(7):772.
- [4] Zumla A, Malon P, Henderson J, et al. Impact of HIV infection on tuberculosis[J]. Post grad Med J, 2000, 76(3): 259-268.
- [5] Li HJ, Gao YQ, Cheng JL, et al. Diagnostic imaging, preautopsy imaging and autopsy findings of 8 AIDS cases[J]. Chin Med J, 2009,122(18):2142-21482,
- [6] Zhang YZ, Li HJ, Cheng JL, B DY CT image demonstrations of HIV-seropositive tuberculosis and their relationship with CD4+ T-lymphocyte count[J]. Chin Med J, 2010, 124(5) 693-703.
- [7] Orme IM, Collins FM. Protection against Mycoba cterium tubereulosis infection by a doptive immunotherapy. Requirement for Tcelldeficient recipients[J]. J Exp Med, 1983, 158(1):74-83.
- [8] Kaufmann SH, Ladel CH. Role of T cell subsets in immunity against int racellular bacteria; experimental infections of knockoutmice with listeria monocytogenes and Mycobacterium bovis BCG [J]. Immuno biology, 1994, 191(4); 509-519.
- [9] Vanham G, Edmonds K, Qing L, et al. Generalized immune activation in pulmonary tuberculosis; coactivation with HIV infection [J]. Clin Exp Immunol, 1996, 103(1):30-34.
- [10] Toosi Z, Sierra-MaderoJG, Blinkhorn RA, et al. Enhanced susceptibility of blood monocytes from patients with pulmonary tuberculosis to productive infection with human immunodeficiency virus type 1[J]. J Exp Med, 1993, 177(5):1511-1516.
- [11] Goletti D, Weissman D, Jackson RW, et al. Effect of Mycobacterium tuberculosison HIV replication; role of immune activation [J]. J Immunol, 1996, 157(3):1271-1278.
- [12] Corbett EL, Watt CJ, Walker N, et al. The growing burden of tuberculosis: global trends and interactions with the HIV epidemic [J]. Arch Intern Med, 2003, 163(9): 1009-1021.
- [13] Offiah CE, Turnbull IW. The imaging appearances of intracranial CNS infections in adult HIV and AIDS patients[J]. Clinical Radiology, 2006, 61(5):393-401.
- [14] Sharma SK, Mohan A. Extrapulmonary tuberculosis[J]. Indian J Med Res, 2004, 120(4); 316.
- [15] 李媛,杨志刚,闵鹏秋,等.腹腔、腹膜后淋巴结结核与淋巴瘤的 多层螺旋 CT 鉴别诊断[J].中国医学影像技术,2005,21(8): 1252-1255.
- [16] O'Doherty MJ, Barrington SF, Campell M, et al. PET scanning and HIV-positive patients [J]. J Nuclear Medi, 1997, 38 (10): 1575-1583.

(收稿日期:2011-05-30 修回日期:2011-07-22)